

横浜市高密度アレー観測記録を用いた 応答スペクトルの空間補間精度の検討

末富 岩雄¹・福島康宏¹・石田 栄介¹・
猪股渉²・乗藤雄基²・山崎文雄³・鈴木崇伸⁴

¹株式会社エイト日本技術開発 東京支社保全・耐震・防災部
(〒164- 8601 東京都中野区本町5-33-11)

E-mail: suetomi-i@ej-hds.co.jp, fukushima-ya@ej-hds.co.jp, ishida-e@ej-hds.co.jp

²東京ガス株式会社 防災・供給部 防災・供給グループ (〒105-8527 東京都港区海岸1-5-20)

E-mail: inomataw@tokyo-gas.co.jp, norito@tokyo-gas.co.jp

³千葉大学大学院 工学研究科 建築・都市科学専攻教授 (〒263-8522 千葉市稲毛区弥生町1-33)

E-mail: yamazaki@tu.chiba-u.ac.jp

⁴東洋大学大学院 工学研究科 環境・デザイン専攻 (〒350-8585 埼玉県川越市鯨井2100)

E-mail: tsuzuki@toyonet.toyo.ac.jp

各種施設の被害推定に用いる地震動強度指標として、SI値や計測震度等が用いられることが多い。地震動の震源特性や地盤の増幅特性は周波数特性を有するので、より精度良く地震動分布を推定するためには、応答スペクトルを用いるのが有効である。一方で、即時被害推定システムにおいては、簡易に評価できる必要がある。本論文では、横浜市強震観測網の記録を用いて、各点の平均スペクトル比を評価し、これを用いて応答スペクトルの補間推定を行った。その結果、1)応答スペクトルを用いることが有効である、2)SI値への影響が大きい周期0.5～2.5秒において、深さ20mまたは30mまでの平均S波速度と増幅率の相関がよい、3)平均スペクトル比を用いることで精度良く地震動を推定できる、ことが分かった。

Key Words : *response spectrum, interpolation estimation of ground motion, Yokohama city, dense array observation, SI value*

1. はじめに

東京ガスでは都市ガス供給の地震時安全性確保のため、地震防災システム「SUPREME」を運用している。ガス導管の被害推定式において、地震動強度指標としてSI値を採用しているため、約4,000箇所の地震計から観測SI値を収集し、50mメッシュの補間推定を行って、被害推定を行っている¹⁾。その推定精度を高めるためには、地震動分布推定精度や被害推定式の精度向上が重要である。

地震動分布を推定する上では、地盤の増幅度評価が重要である。そのために、「SUPREME」では約6万点のボーリングデータを整備し、50mメッシュで深さ20mまでの平均S波速度(AVS20)のデータベースを構築している。このAVS20の関数として、SI値増幅度を評価している。一方で、このSI値増幅度の大きさは、入力地震動の周波数特性や表層地盤の増幅度の周波数特性の影響を強く受ける性質を有する。SI値は減衰20%の速度応答スペクトルを積分することによって得られる値であるため、地震計で

観測される情報及び地盤の増幅特性を応答スペクトルで扱い、対象地点の応答スペクトルで推定した後、SI値を算定すれば、各種の周波数依存の特性を考慮できるので高精度推定が可能になると考えられる。しかしながら、応答スペクトルの増幅度を評価する手法は多く提案されているが、十分な精度とは言えない。

横浜市強震観測網(以下、READY)²⁾は、150箇所の観測点からなり、その間隔は2km程度と近い。これまでに多くの地震観測記録が得られており、岩盤条件に近い観測点を基準として、増幅度を精度良く評価することが可能である。また、各点でPS検層が、泥岩または土丹層に達するまで実施されている。横浜市は起伏に富んでもいるので、補間推定手法の検証を行うのに適している。

本論文では、観測点の速度応答スペクトルの基準点に対する比の平均値を求め、これを用いて、空間補間を行う手法について検証を行う。また、地盤パラメータと増幅度の関係についても検討する。

2. 横浜市観測点の平均増幅スペクトル評価

(1)対象地震

横浜市強震観測網では、10年以上にわたって地震観測記録が蓄積されており、150地点での地震観測記録³⁾を収集・整理し、本論文では、以下の条件で対象地震を抽出する。

- ① iz02(泉区緑園消防出張所)で記録が得られている
- ② マグニチュード $M_{JMA} \leq 6.0$ 、震央距離 $\Delta \leq 150\text{km}$
- ③ iz02での観測記録の最大加速度 $PGA \geq 4\text{cm/s}^2$

①は、iz02がほぼ岩盤が露頭している観測条件であるので、後の検討でスペクトル比を算出する基準点とすることによる。②は首都圏近傍での地震を対象とするために設けた条件であり(想定地震の震源域での地震、S波が卓越している地震を抽出)、震央距離はiz02からの距離で判定する。③は小振幅の記録を除くために設けた条件(SN比と大地震への適用性から)である。本論文では、平均値を算出する際の記録数を20前後確保するために、やや小さい記録も含まざるを得ず、 4cm/s^2 としている。

抽出した対象25地震の諸元を表-1に、震央分布を図-1、その震源深さを図-2に示す。千葉県北西部での地震が多く、地震規模はM5前後、深さは60km前

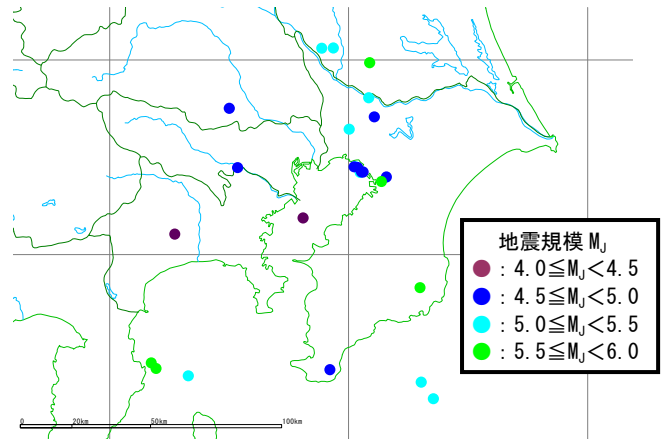


図-1 検討対象25地震の位置と地震規模

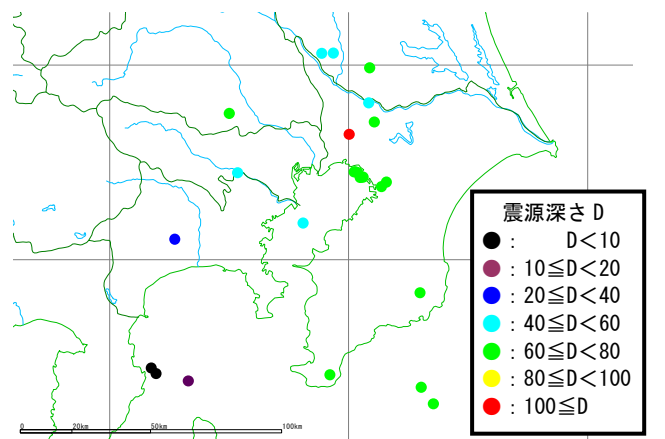


図-2 検討対象25地震の位置と震源深さ

表-1 検討対象地震の諸元

地震番号	発生日時	震源域	地震規模 M_j	震源深さ(km)
eq97801	1997. 8. 9 5:34	埼玉県南部	4.7	70
eq98502	1998. 5. 3 11:09	伊豆半島東方沖	5.7	3
eq98510	1998. 5. 16 3:45	千葉県南部	4.8	74
eq98824	1998. 8. 29 8:46	東京湾	5.1	67
eq98y05	1998.11. 8 21:40	千葉県北西部	4.6	78
eq99905	1999. 9. 13 7:56	千葉県北西部	5.0	77
eq01908	2001. 9. 18 4:23	東京湾	4.2	45
eq03505	2003. 5. 12 0:57	茨城県南部	5.2	47
eq03813	2003. 8. 18 18:59	千葉県北西部	4.6	69
eq03903	2003. 9. 20 12:54	千葉県南部	5.8	70
eq03x14	2003.10.15 16:30	千葉県北西部	5.1	74
eq04706	2004. 7. 17 15:10	房総半島南東沖	5.5	69
eq04801	2004. 8. 6 3:23	千葉県北西部	4.6	75
eq04x03	2004.10. 6 23:40	茨城県南部	5.7	66
eq05204	2005. 2. 16 4:46	茨城県南部	5.4	45
eq05708	2005. 7. 23 16:34	千葉県北西部	6.0	73
eq05x04	2005.10.16 16:05	茨城県南部	5.1	47
eq06202	2006. 2. 1 20:35	千葉県北西部	5.1	101
eq06413	2006. 4. 21 2:50	伊豆半島東方沖	5.8	7
eq06502	2006. 5. 2 18:24	伊豆半島東方沖	5.1	15
eq06808	2006. 8. 31 17:18	東京湾	4.8	76
eq06x03	2006.10.14 6:38	千葉県南東沖	5.1	64
eq07x03	2007.10. 6 3:46	神奈川県西部	4.2	32
eq08804	2008. 8. 8 12:57	茨城県南部	4.6	45
eq08917	2008. 9. 21 7:17	東京湾	4.8	71

後である。伊豆半島東方沖で起きる地震は、深さ20km以内の浅いところで発生している。

(2)応答スペクトルの平均増幅度の算出

(1)で選定した対象地震における観測記録の速度応答スペクトル(減衰20%)を算出し、上述のiz02を基準点としてスペクトル比を算出し、地点毎に平均値を算出する。得られた各点の応答スペクトル比を図-3に示す。横浜市は18区あるので、区毎に重ねて示している。全体的には、明瞭なピークを示さないか、0.3秒以下にピークを示す観測点が多い。このことは、丘陵上の観測点が多いことを反映していると考えられる。tr07, tt04, sk01, ns04, md04等は比較的明瞭なピークを有している。また、kz01, kz10, ns05等では1秒より長い周期でピークを有している。

図-4は、青葉区を例に、分布を地質分類図と重ねて示したものである。どの観測点もAVS20が200m/sを越えているので、卓越周期はいずれも0.3秒以下である。ばらつきは、概ね1.5前後の値を示すものが多く、周期変動もやや0.3秒前後で大きい傾向が見られる程度である。増幅率には低地部で大きいという傾向が見られるが、ばらつきについては特に地形との関係は見られない。

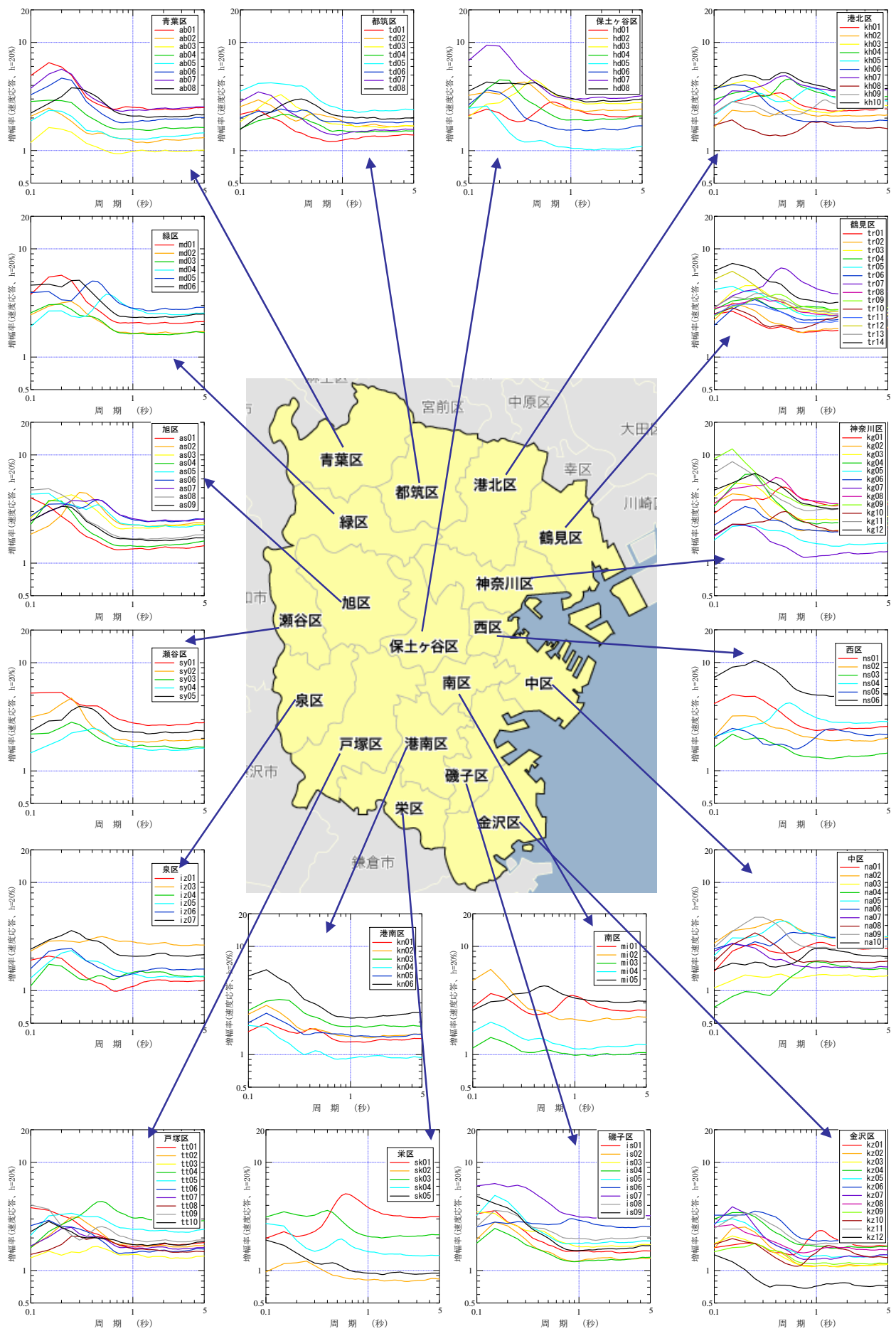


図-3 速度応答スペクトル（減衰20%）の平均増幅度

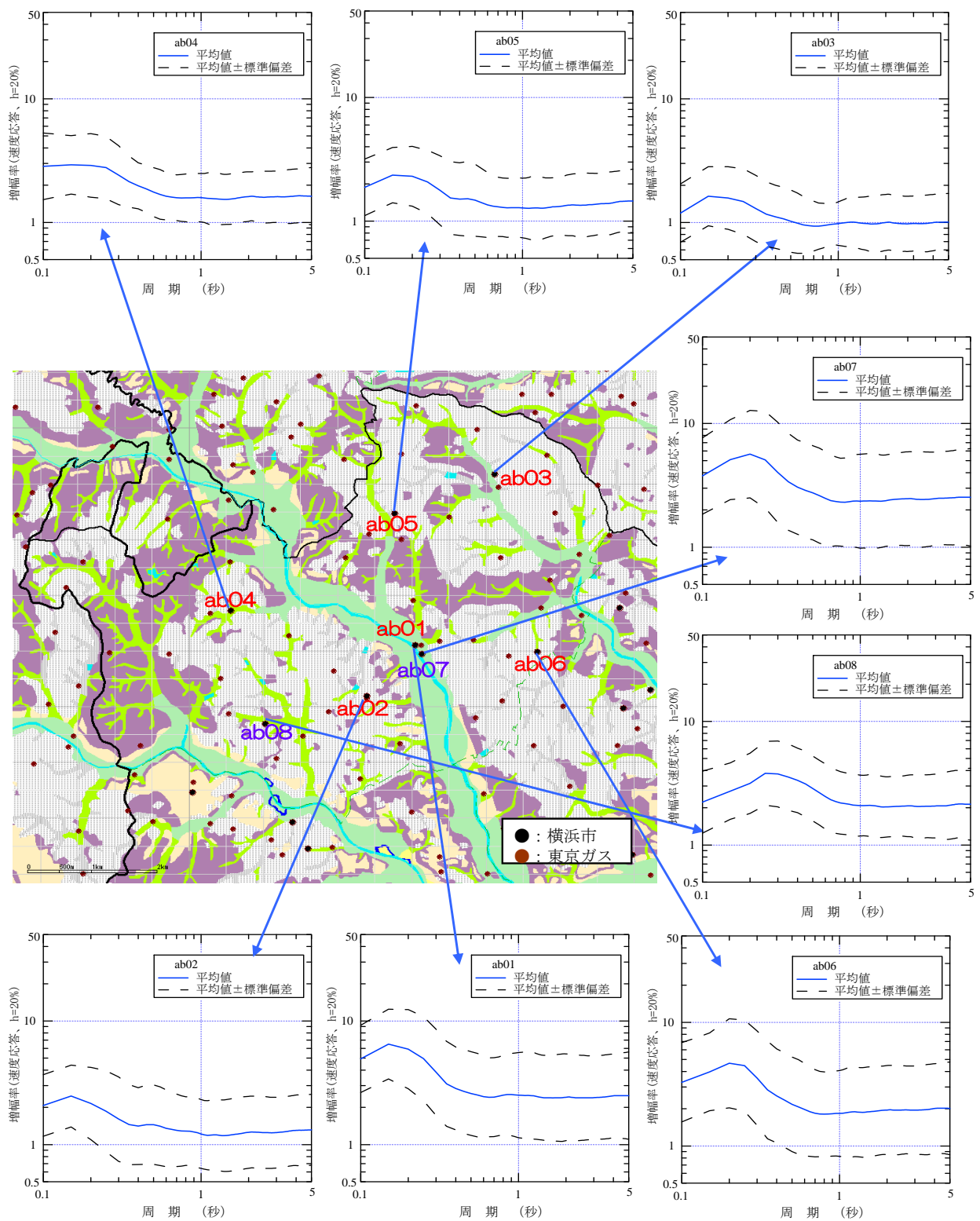


図-4 速度応答スペクトル（減衰 20%）の増幅度【青葉区】

(3) 地盤パラメータと増幅率の関係

応答スペクトルの周期毎の増幅率と、深さ 20m までの平均 S 波速度 (AVS20) 及び深さ 30m までの平均 S 波速度 (AVS30) との関係について、次式で回帰分析を行う。

$$\log_{10} R(S(T)) = A \cdot \log_{10} AVS + B \quad (1)$$

横浜市READY150地点では、標準貫入試験およびPS検層が行われている。本論文では、さらにAVS20とAVS30を精度良く評価するために、伝達関数が適合するように、地盤モデルを修正して用いる。すなわち、PS検層データから作成した地盤モデル(初期モデル)に基づく伝達関数と、応答スペクトルと同様に算出したフーリエスペクトル比とを比較し、伝達関数がフーリエスペクトル比に合うように、地盤モデルを一部修正している。

周期 0.2 秒, 0.5 秒, 1.0 秒, 2.5 秒について、式(1)により得られた相関関係を図-5~8 に示す。相関係数の比較を図-9 に示す。回帰係数を図-10 に示す。周期によって AVS との相関の程度は大きく異

なることが分かる。周期 0.3 秒以下ではほとんど相関は無く、周期 0.8~1 秒付近で最も相関が高くなっている。

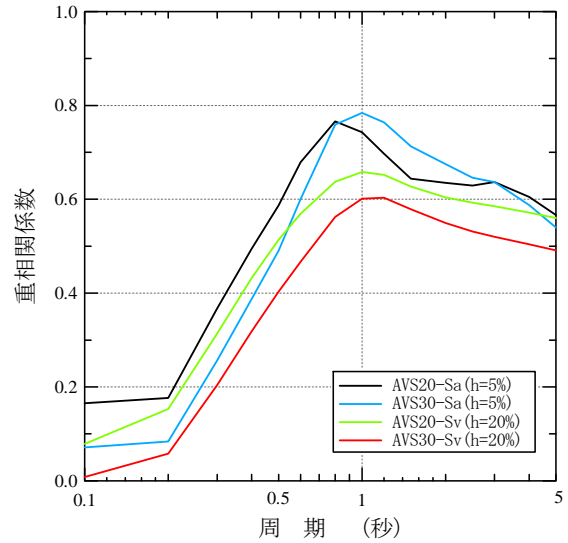
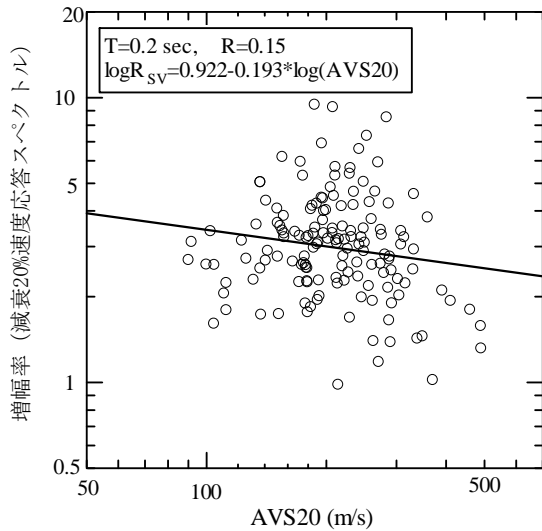
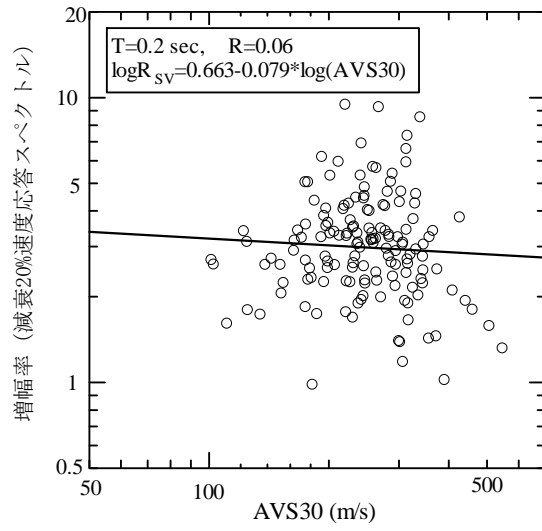


図-9 周期ごとの重相関係数

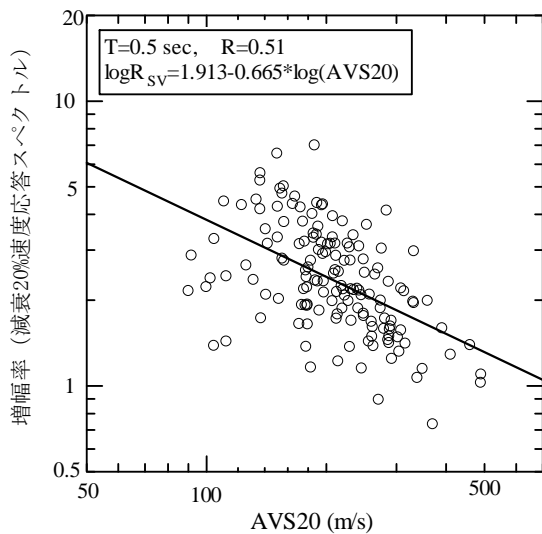


(a) AVS20

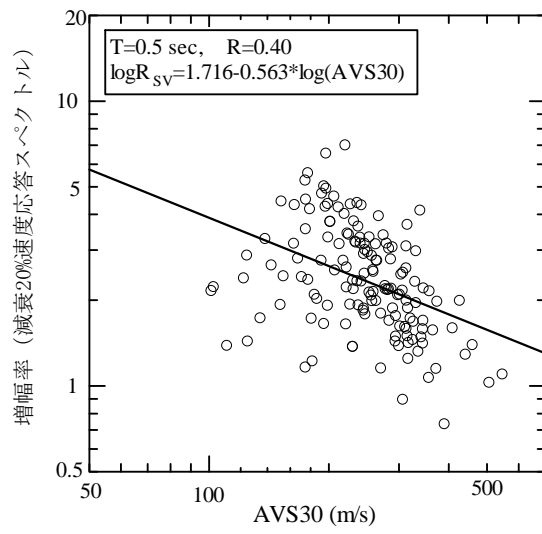


(b) AVS30

図-5 平均 S 波速度と応答スペクトル増幅率の関係 (周期 0.2 秒)

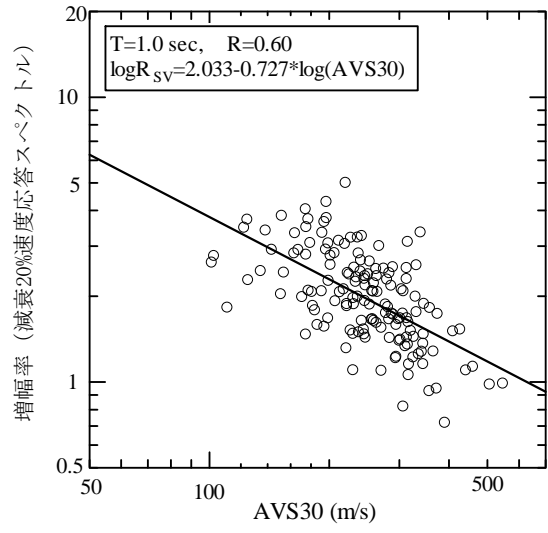
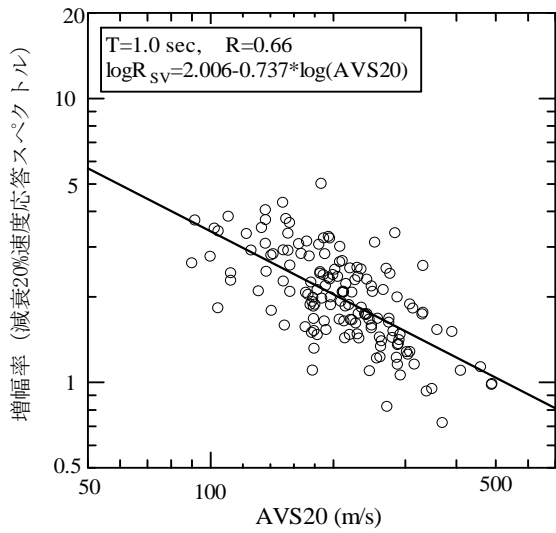


(a) AVS20

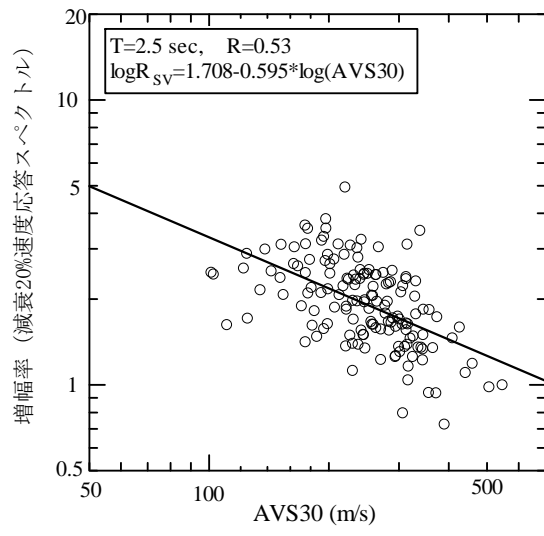
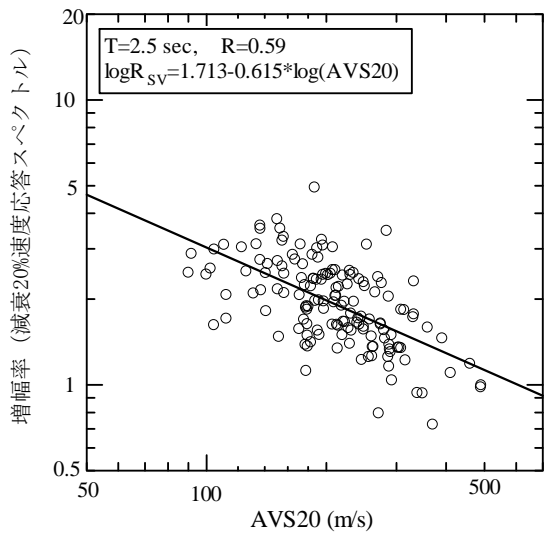


(b) AVS30

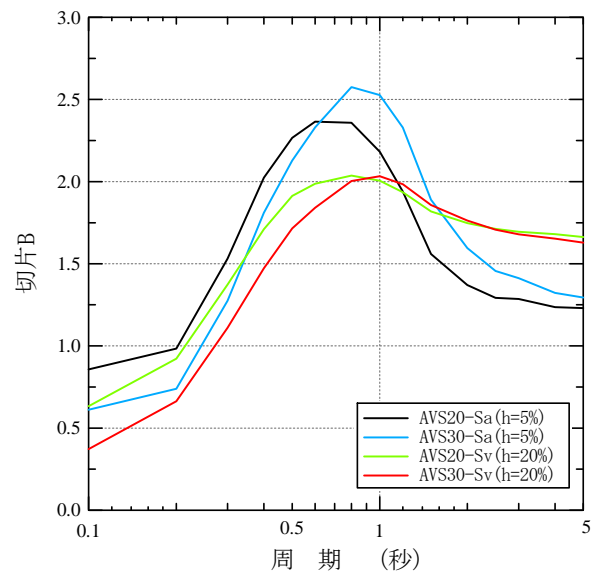
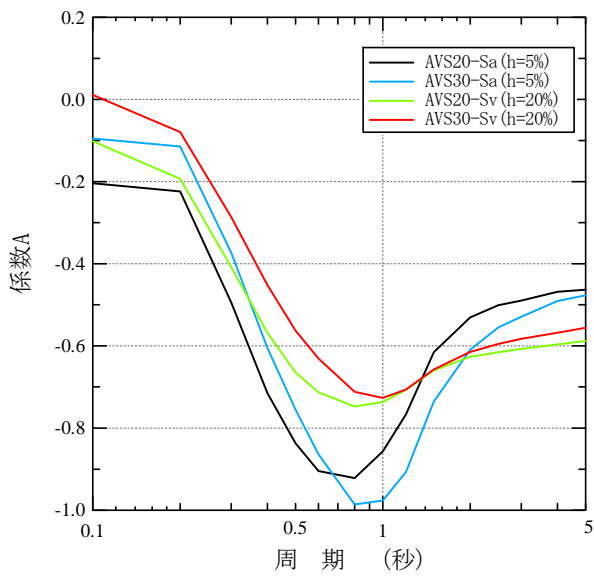
図-6 平均 S 波速度と応答スペクトル増幅率の関係 (周期 0.5 秒)



(a) AVS20 (b) AVS30
 図-7 平均S波速度と応答スペクトル増幅率の関係 (周期 1.0 秒)



(a) AVS20 (b) AVS30
 図-8 平均S波速度と応答スペクトル増幅率の関係 (周期 2.5 秒)



(a) 回帰係数 A (b) 回帰係数 B
 図-10 各周期における回帰係数

3. 応答スペクトルの空間補間

(1) 補間手法と条件

横浜市観測点を対象として、2章で算出した観測記録の応答スペクトル比を用いた補間推定による精度の検証を行う。各区2点(計36点)の観測値を用いて、他の114観測点での地震動を補間推定し、実際の観測値と比較する。36観測点は、気象庁の震度発表に用いられている箇所を選んでいる。観測点配置を図-11に示す。

表-2に示す6地震について、補間推定を行い、観測値と比較する。入力地震動特性が異なるものも含めるため、伊豆半島東方沖での地震も含めている。図-12に基準点として用いた iz02 における対象6地震の速度応答スペクトル(減衰20%)の比較を示す。eq06502は伊豆の地震ではあるが、eq98502と異なり短周期成分が卓越している。iz02では、0.8mの表層の下に $V_s=610\text{m/s}$ の軟岩が現れている。

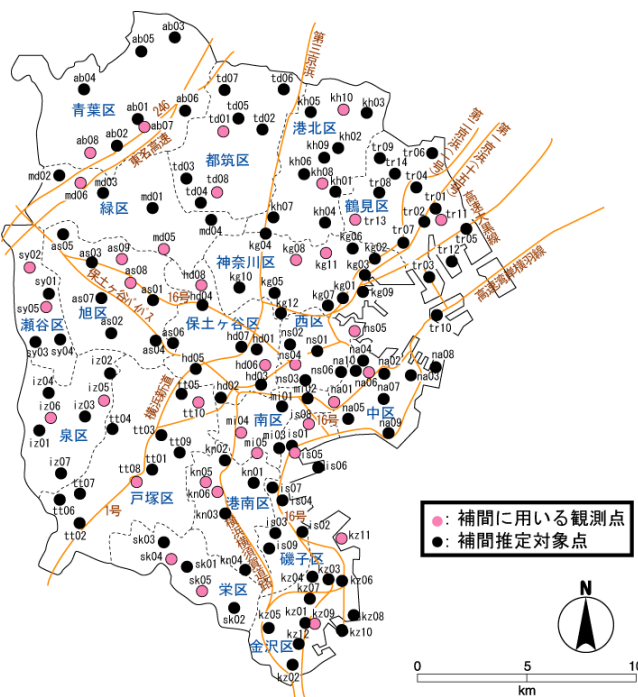


図-11 補間に用いた観測点の配置

表-2 補間推定の対象地震

地震番号	発生年月日	震源域	M_j	深さ(km)
eq98502	1998. 5. 3	伊豆半島東方沖	5.7	3
eq03903	2003. 9. 20	千葉県南部	5.8	70
eq05708	2005. 7. 23	千葉県北西部	6.0	73
eq05x04	2005. 10. 16	茨城県南西部	5.1	47
eq06502	2006. 5. 2	伊豆半島東方沖	5.1	15
eq06808	2006. 8. 31	東京湾	4.8	76

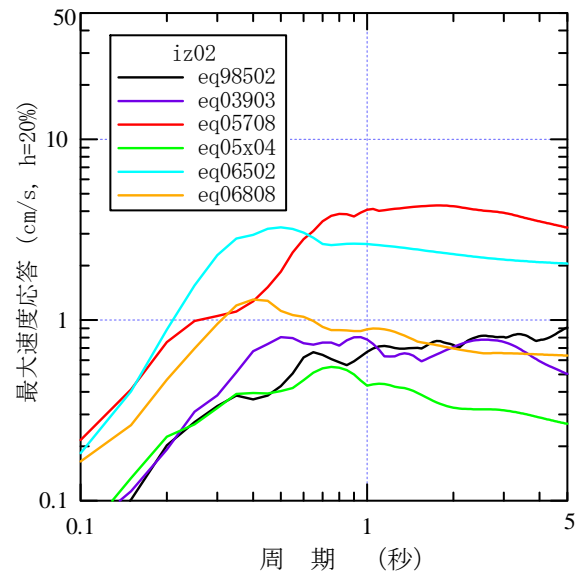
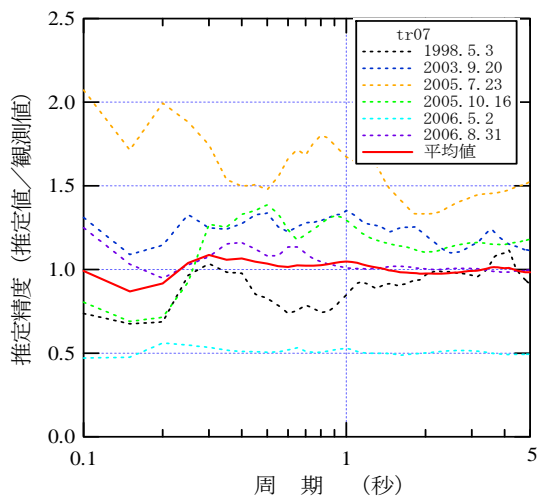


図-12 基準点 iz02 における応答スペクトル

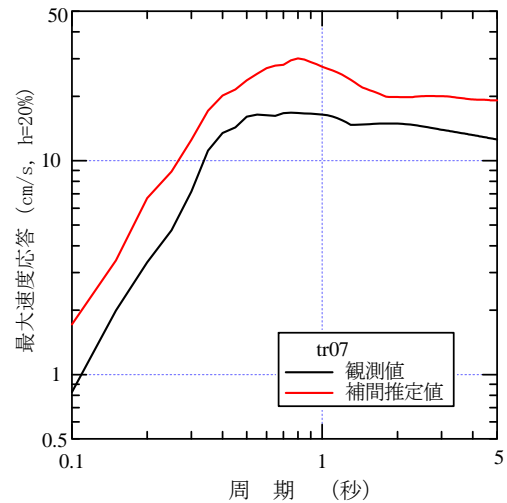
(2) 推定結果

減衰20%の速度応答スペクトルについて、4地点について精度を図-13~16に示す。図(a)は対象6地震について、推定値/観測値を精度指標として示したものである。応答スペクトルは各種の周期特性を考慮できるので、赤線で示した平均値は2割程度の誤差にとどまっておき、極めて高い精度となっている。しかしながら、地震別では、精度がばらついており、かつ地震によってどの地点でも大きいあるいは小さいという傾向が見られるわけでもない。今後、さらなる精度向上のため、この要因も明らかにしたいと考えている。図(b)は、2011年東日本大震災以前では最も大きな揺れが観測された2005年7月23日に発生した千葉県北西部の地震について、比較したものである。周期による偏りはなく、全体によく観測記録の周期特性が再現されていることが分かる。

図-16(b)と同様に対象地震の中で揺れが最も大きい2005年7月23日の地震を対象として、観測値と推定値のスペクトル比較図の分布を、青葉区、神奈川区について、図-17に示す。丘陵側の青葉区では場所によるスペクトル形状の差異は大きくないが、低地と丘陵が混在する神奈川区では場所により観測記録のスペクトル形状は大きく異なっている。それでも、推定結果は概ねそれぞれの観測点の特性を反映しており、概ね良い対応を示している。特に、神奈川区については、補間に観測点として用いたkg08とkg11の2点の応答スペクトルの形状が大きく異なるにもかかわらず、外挿条件になるkg06でやや差が大きい程度で、他の観測点ではよく周期特性が再現されている。

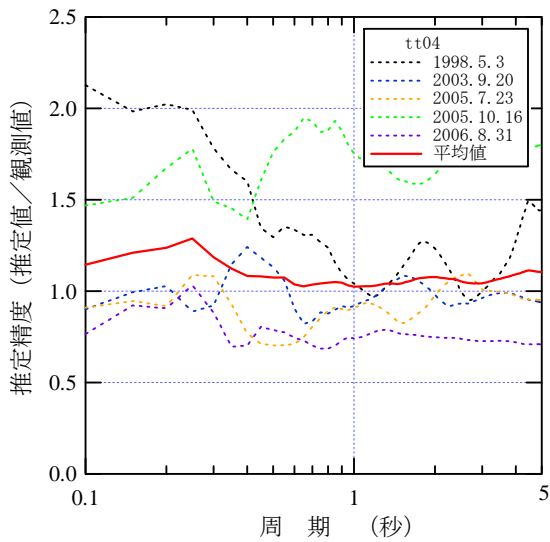


(a) 地震毎の推定精度

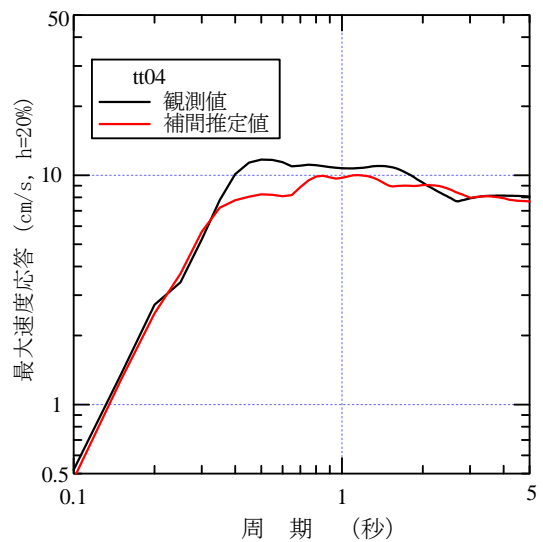


(b) 観測値との比較 (2005年7月23日)

図-13 減衰 20%速度応答スペクトルの推定精度 (tr07)

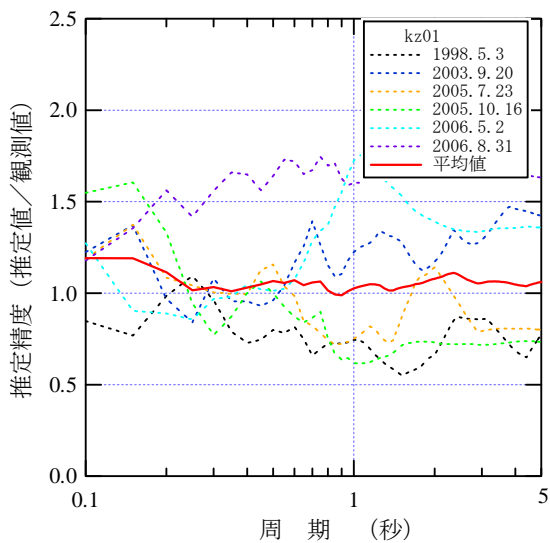


(a) 地震毎の推定精度

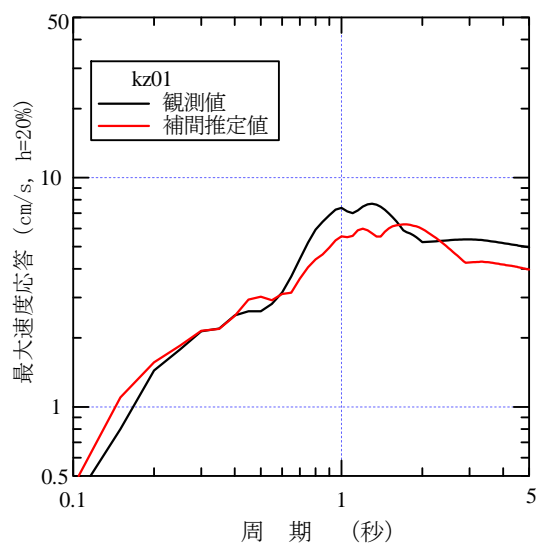


(b) 観測値との比較 (2005年7月23日)

図-14 減衰 20%速度応答スペクトルの推定精度 (tt04)

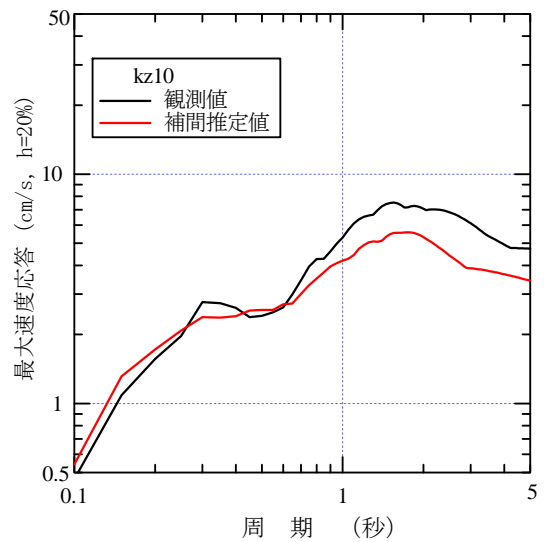
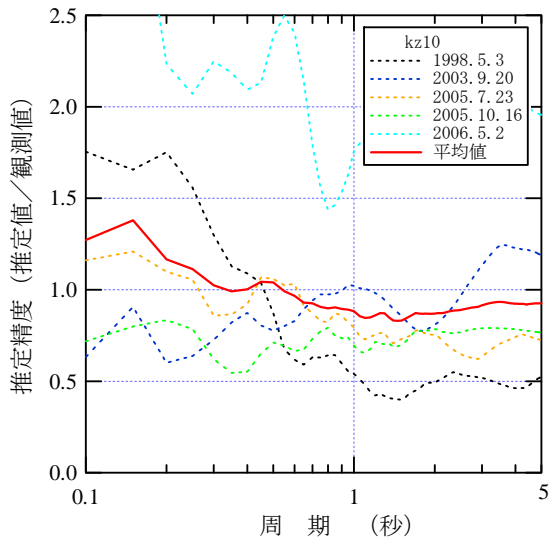


(a) 地震毎の推定精度



(b) 観測値との比較 (2005年7月23日)

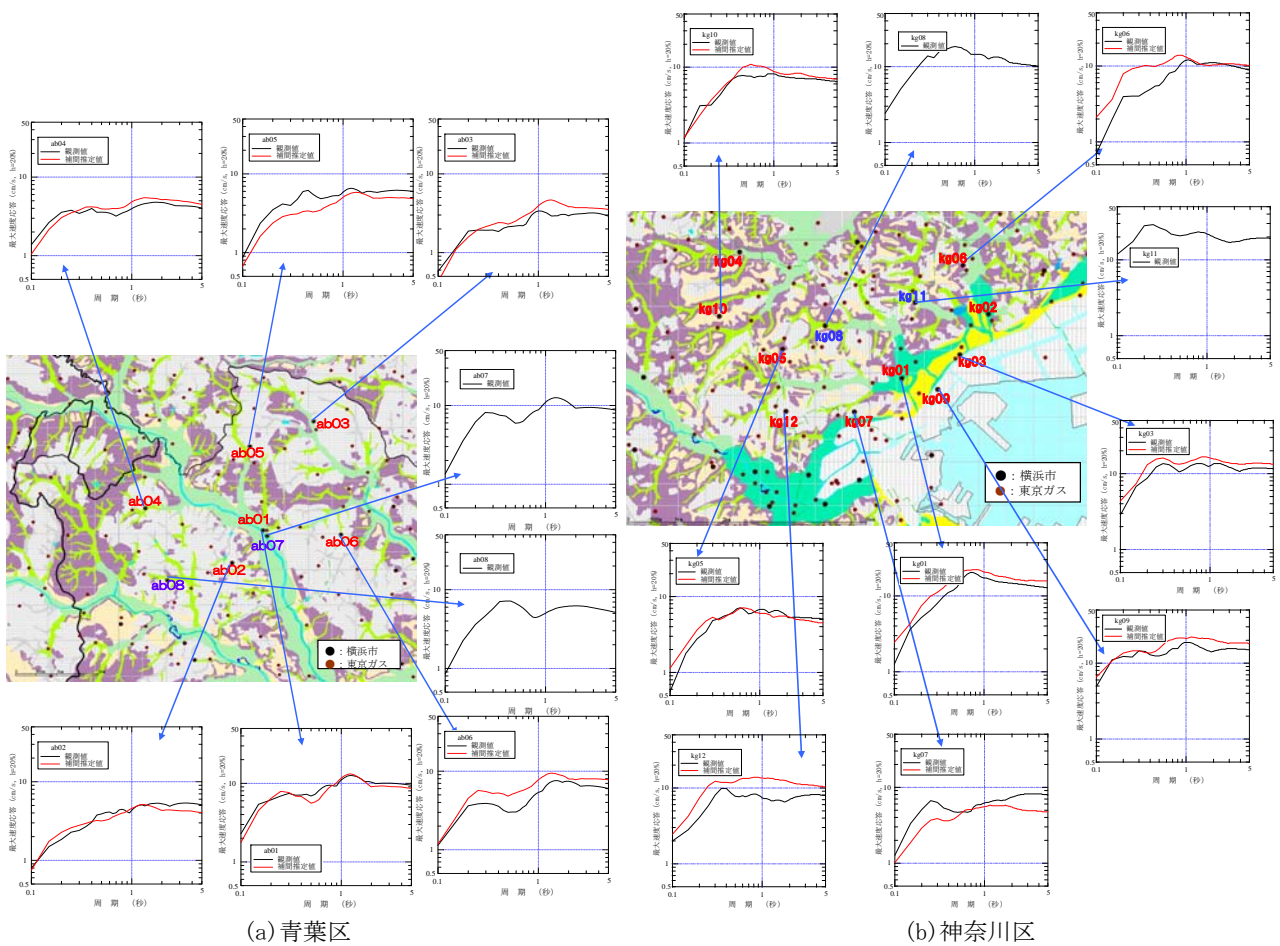
図-15 減衰 20%速度応答スペクトルの推定精度 (kz01)



(a) 地震毎の推定精度

(b) 観測値との比較 (2005年7月23日)

図-16 減衰20%速度応答スペクトルの推定精度 (kz10)



(a) 青葉区

(b) 神奈川区

図-17 速度応答スペクトル (減衰5%) の推定 (2005年7月23日千葉県北西部の地震)

4. おわりに

本論文では、約2kmの間隔で設置されている横浜市強震観測網の記録を用いて、地震動の高精度推定のため、速度応答スペクトルを対象とした検証を行った。これにより、以下のことが明らかになった。

- 1) 応答スペクトルを扱うことで、地盤の特性や入力地震動の特性を反映した評価ができる。
- 2) 周期0.5秒～2.5秒程度では、応答スペクトルの増幅率と地盤の平均S波速度は良い相関を示す。
- 3) 6地震で検証した結果、応答スペクトルの推定値は概ね観測値と良い対応を示した。

今回の検討成果より、SI値を用いて被害推定を行う場合でも、応答スペクトルの補間推定の後に、それを積分してSI値を評価した方が精度良く評価でき

ると期待される。今後、東京ガスの高密度観測網を活かし、地震観測点でない箇所への展開法を検討していく予定である。

本論文では、横浜市強震計ネットワークのデータを使用させて頂きました。関係各位に感謝の意を表します。

参考文献

- 1) 清水 善久, 石田 栄介, 磯山 龍二, 山崎 文雄, 小金丸 健一, 中山 渉: 都市ガス供給網のリアルタイム地震防災システム構築及び広域地盤情報の整備と分析・活用, 土木学会論文集, No.738/I-64, pp.283-296, 2003.
- 2) 横浜市: 高密度強震計ネットワーク
http://www.city.yokohama.jp/me/anzen/kikikanri/jisin_data/

PRECISION OF SPATIAL INTERPOLATION ESTIMATION OF RESPONSE SPASTRA USING THE RECORDS OBSERVED BY YOKOHAMA DENSE ARRAY

Iwao SUETOMI, Yasuhiro FUKUSHIMA, Eisuke ISHIDA, Wataru INOMATA, Yuuki NORITO, Fumio YAMAZAKI and Takanobu SUZUKI

SI value is often used as an index of ground motion for disaster estimation. Because source effect and site amplification effect have characteristics which depends on frequency, response spectra are effective in order to calculate the distribution of earthquake ground motion precisely. In the other hand, real-time estimation should be simple. In this paper, using the observation records in Yokohama, response spectra are estimated by the interpolation with the average ratio. It is shown that, 1) response spectrum is effective, 2) average S-wave velocity is well correlated to an amplification factor for the period range from 0.5 to 2.5 second, 3) the use of average ratio of response spectrum gives good estimation of earthquake ground motion.